

[NOWCASTING SOLARE 9 MAGGIO 2016](#)

Nowcasting solare

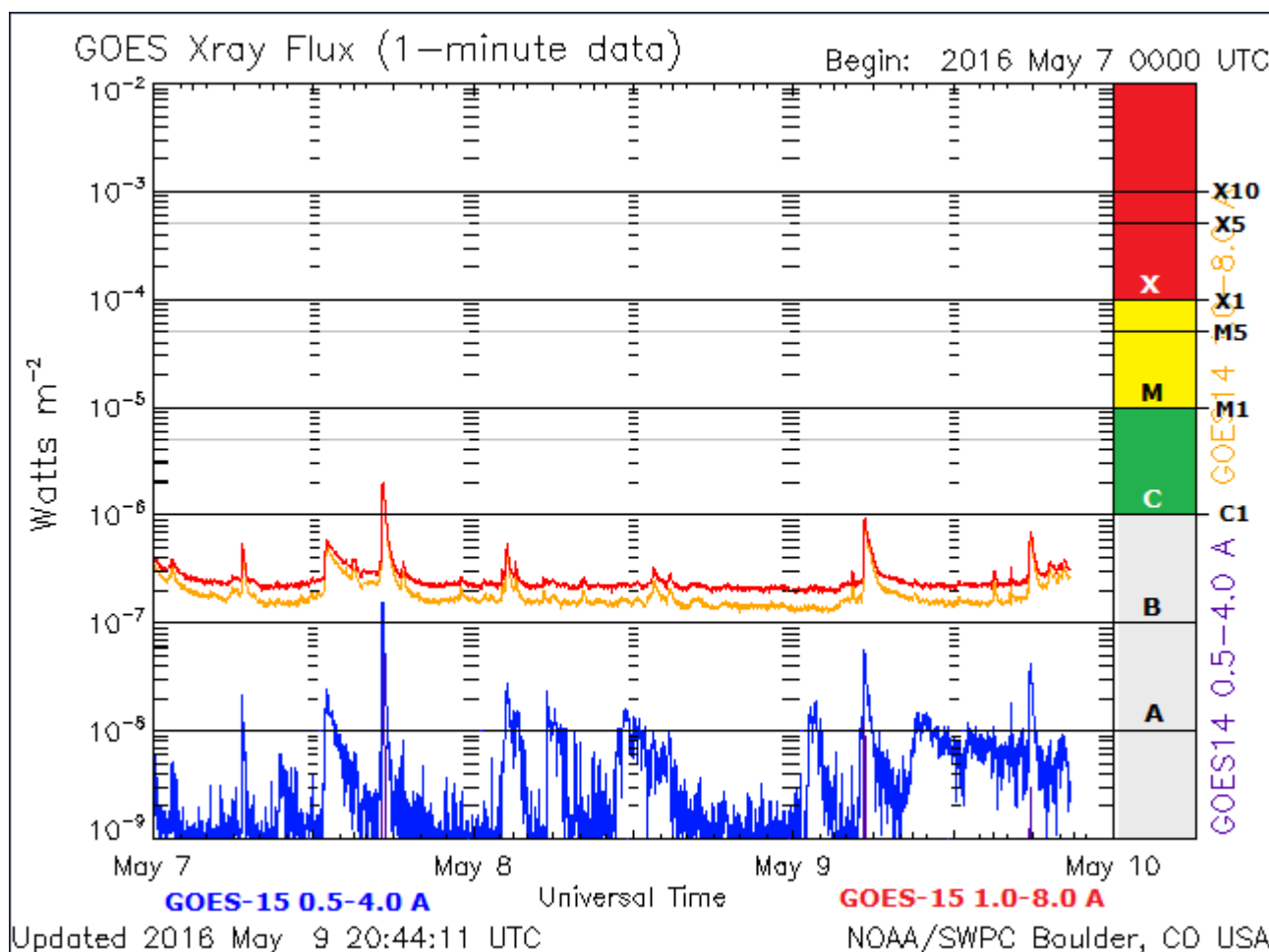
Attività solare che nella giornata di oggi 9 Maggio è rimasta a livelli molto bassi. La Regione 2541 (N04W22, Axx/alpha) ha generato il più forte Brillamento della giornata, un classe B 9 alle ore 05.23 UTC. La Regione 2542 (N12E10, Cao/beta) è rimasta la più grande macchia solare presente sul disco solare. Un minore decadimento è stato osservato nella Regione 2543 (S05E04, Cro/beta).

Nessuna Espulsione di Massa Coronale diretta verso la Terra ([CME](#)) è stata

osservata dalle immagini disponibili dal coronografo.

Nessun Brillamento di classe C-M-X è scaturito dalla [fotosfera](#) solare nella giornata di oggi.

Previsioni per le prossime 72 ore: L'[attività solare](#) dovrebbe restare a livelli molto bassi, con possibilità di Brillamenti di classe C nei prossimi tre giorni (10-12 Maggio).



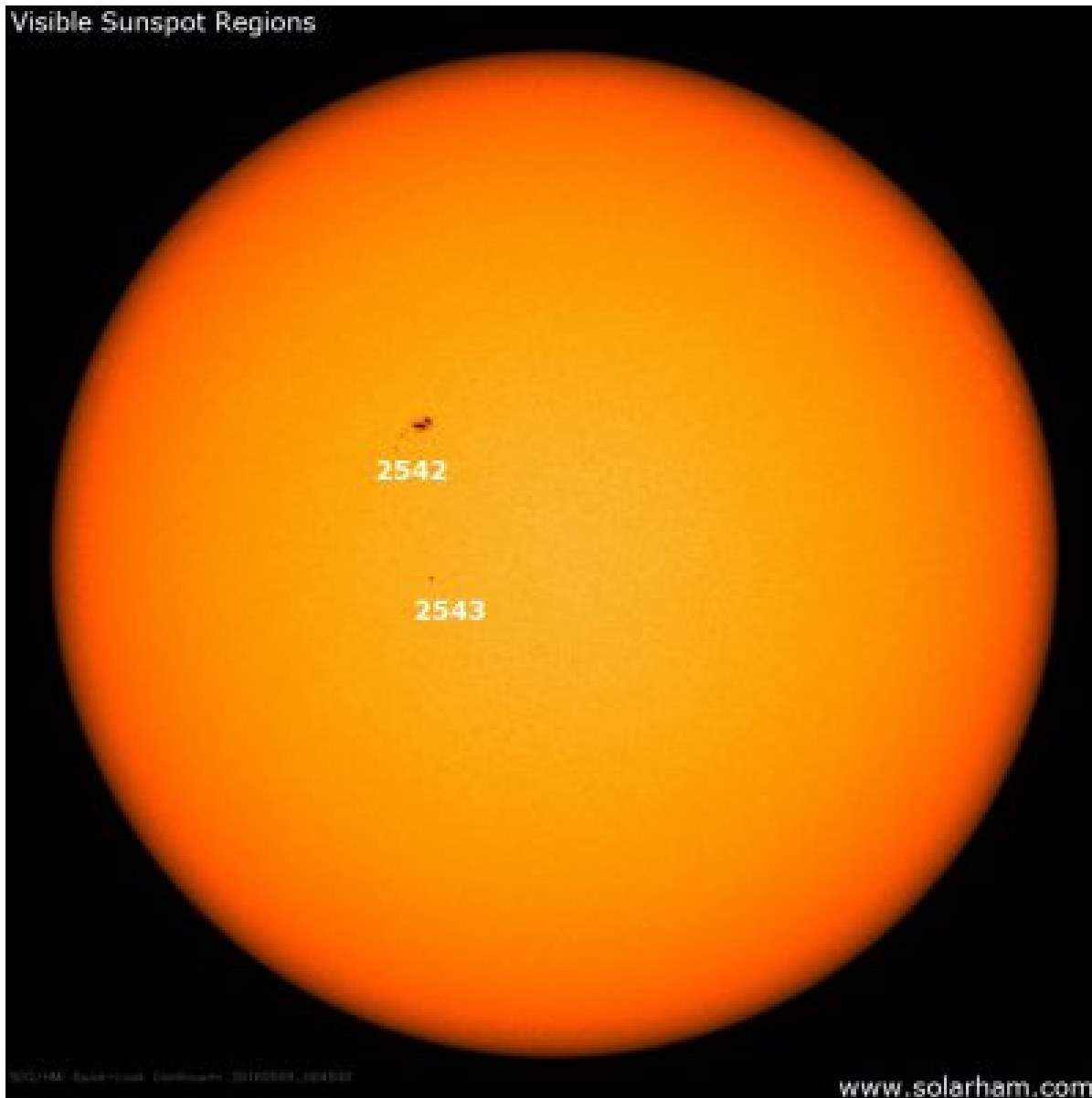
Il grafico dei **Raggi X** negli ultimi tre giorni

Ne consegue che:

Alle ore 08.00 UTC, il disco solare visibile presentava due **regioni attive** (in risoluzione 2K dalle immagini SDO/HMI Continuum):

Num	Lat.,	CMD	Long.	Area	Extent	class
count	class					

2542	N12E16	358	100	5	CA0	8	B
2543	S06E12	2	10	4	BX0	3	B



L'immagine del Sole inviata dalla sonda SDO/HMI continuum

Conteggio del flusso solare SFU:

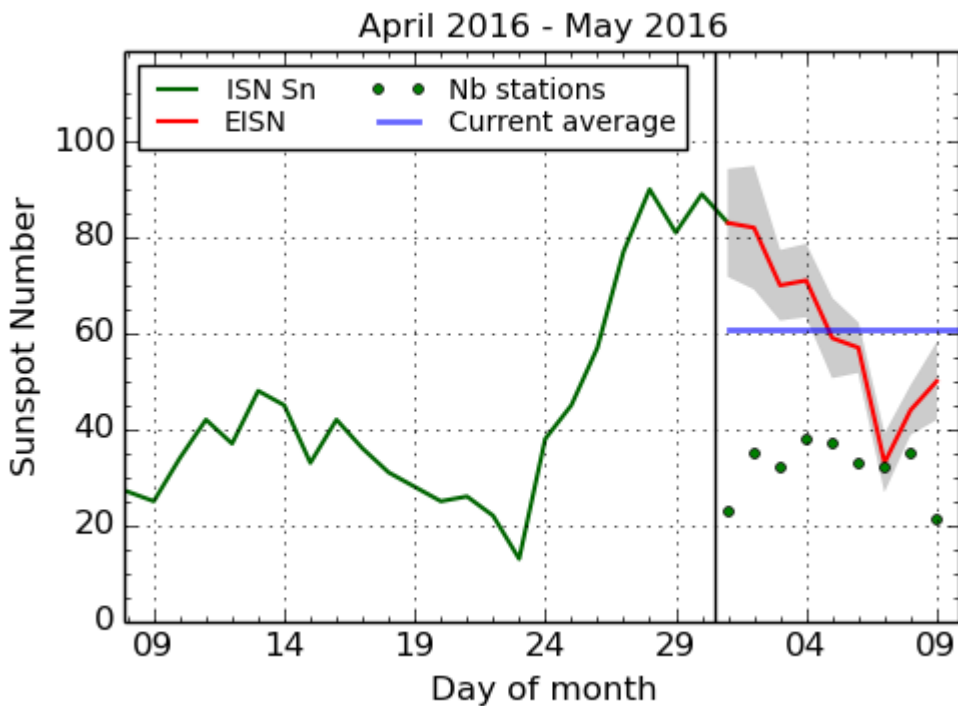
La velocità del flusso solare (2,8 GHz) alle ore 20,00 del 9 Maggio Aprile è risultata a 88.5 – (84)

La media mensile del flusso solare ad oggi risulta di 88.8 – (88.8)

Conteggio delle macchie solari – SILSO:

Il conteggio delle macchie solari giornaliero (conteggio SILSO) del 9 Maggio è risultato di 50 – (44)

La media mensile delle macchie solari ad oggi risulta di 61.7 – (63.2)



SILSO graphics (<http://sidc.be/silso>) Royal Observatory of Belgium, 2016 May 9

Il conteggio delle macchie solari (SILSO) nell'ultimo mese

Altri indici solari importanti:

Il campo geomagnetico solare nel corso delle ultime 24 ore è risultato in stato "STORM" mentre i Raggi X in stato "NORMAL"

La media mensile dell'indice Ap è risultata nella giornata di ieri di 17.9

La velocità del vento solare attuale è di 629.7 Km/s

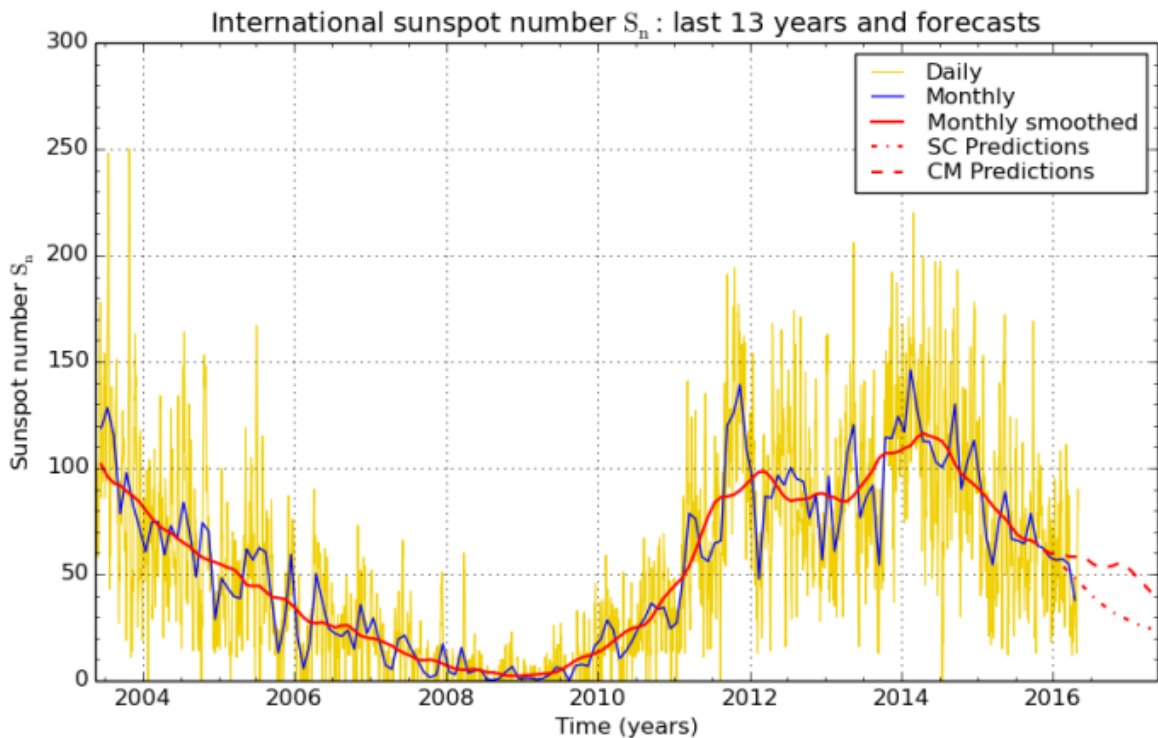
La densità del vento solare attuale è di 1.6 protons/cm³

L'indice A attuale è di 35

L'indice K attuale è di 4

Il flusso dei raggi X attuale risulta di classe B 2.8

La componente BZ attuale è di -1.6 nT



SILSO graphics (<http://sidc.be/silso>) Royal Observatory of Belgium 2016 May 1

*L'andamento dell'**attività solare** negli ultimi 13 anni e forecast (linee tratteggiate di colore rosso). Grafico del centro di conteggio SILSO*

Conteggio del Layman's Sunspot Count

Il conteggio delle macchie solari con il metodo del Layman's Sunspot Count (gestito da Geoff Sharp), nella giornata del 8 Maggio, alle ore 08:00 (ultimo aggiornamento disponibile) è risultato con un conteggio di 11 SN che portano la media mensile a 17 (SN).

Dati 2016

Il mese di Gennaio 2016 ha totalizzato 0 giorni Spotless / giorni Spotless emisfero nord 4 / giorni Spotless emisfero sud 22

Il mese di Febbraio 2016 ha totalizzato 2 giorni Spotless / giorni Spotless emisfero nord 8 / giorni Spotless emisfero sud 18

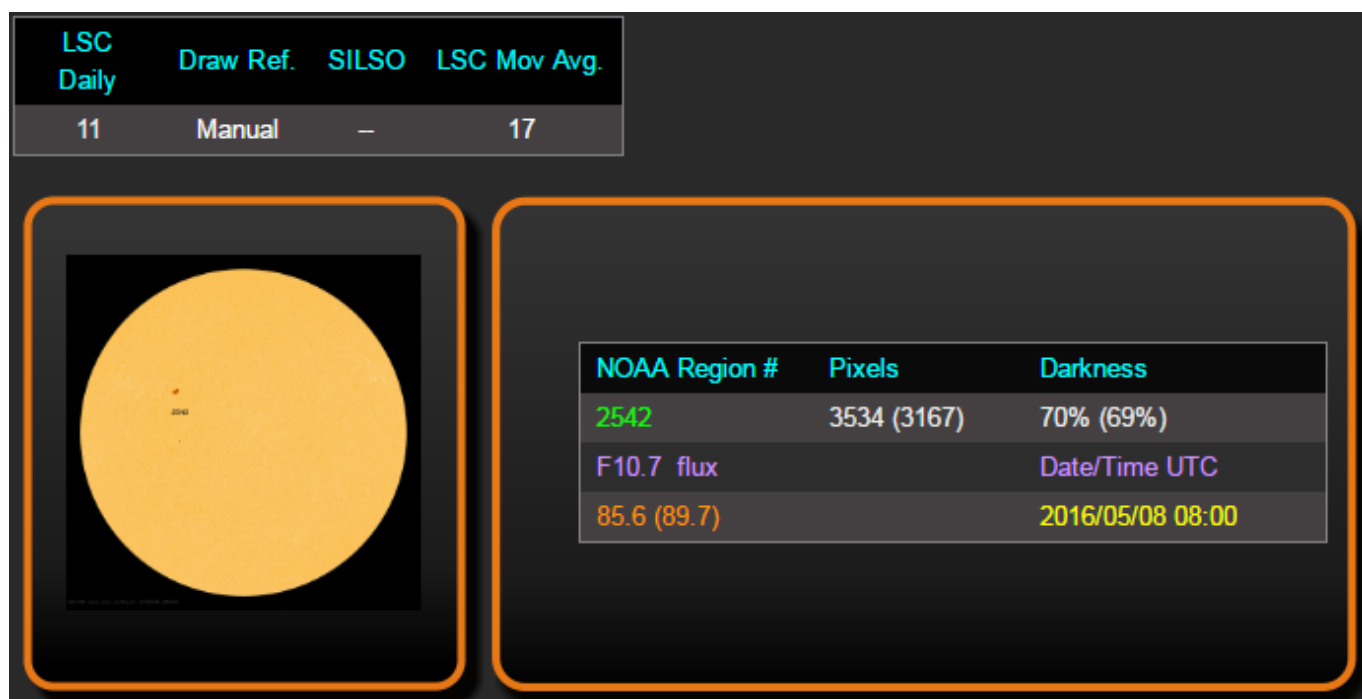
Il mese di Marzo 2016 ha totalizzato 0 giorni Spotless / giorni Spotless emisfero nord 5 / giorni Spotless emisfero sud 19

Il mese di Aprile 2016 ha totalizzato 2 giorni Spotless / giorni Spotless emisfero nord 12 / giorni Spotless emisfero sud 15

Il mese di Maggio 2016 ha totalizzato fino a questo momento giorni Spotless 0

Emisfero Nord Giorni Spotless: 0

Emisfero Sud Giorni Spotless: 7



Il conteggio giornaliero del Layman's Sunspot Count

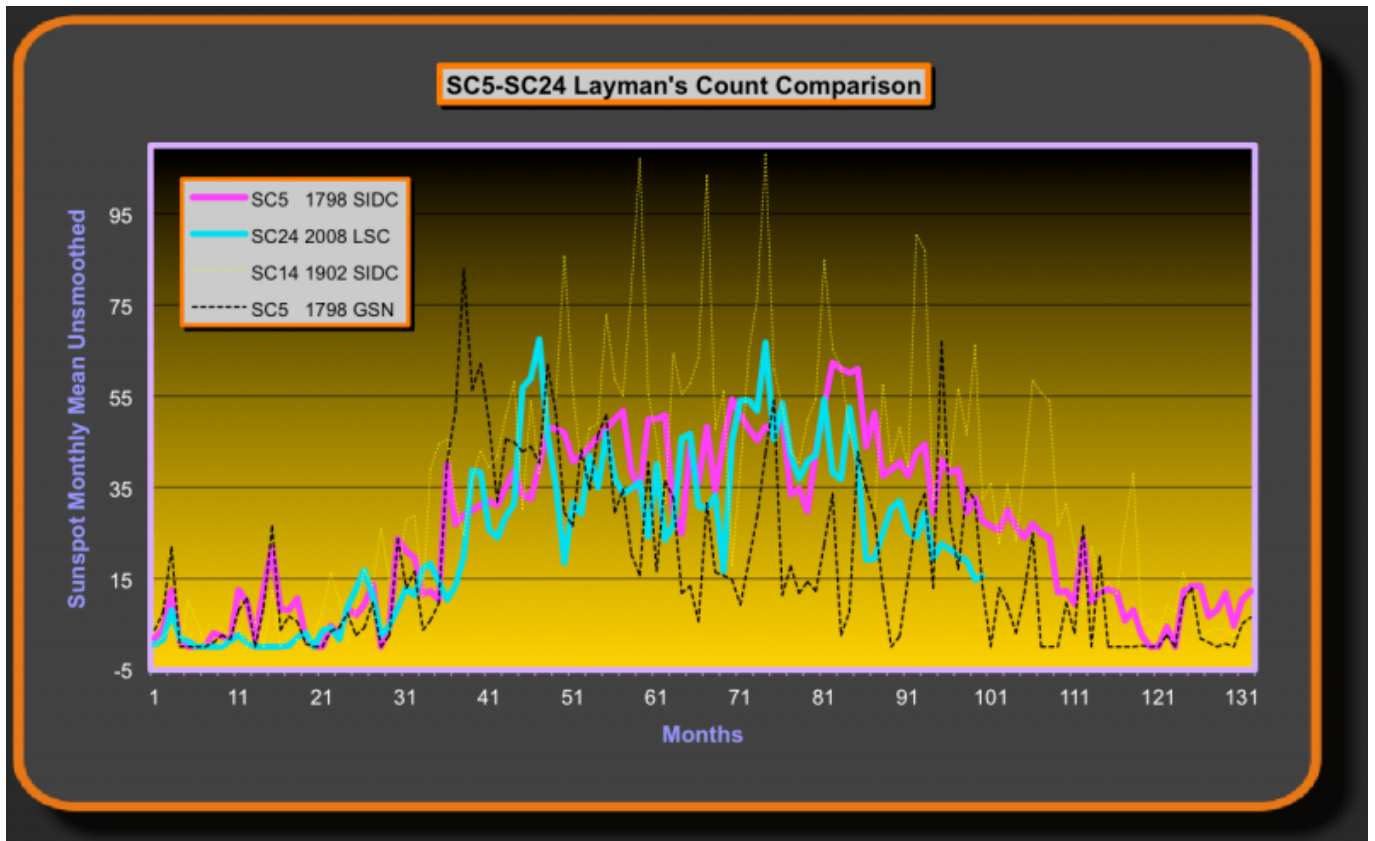
Archivio in aggiornamento:

Il mese di Settembre 2015 ha totalizzato 4 giorni Spotless.

Il mese di Ottobre 2015 ha totalizzato 4 giorni Spotless.

Il mese di Novembre 2015 ha totalizzato 9 giorni Spotless.

Il mese di Dicembre 2015 ha totalizzato 2 giorni Spotless.



Confronto tra i due cicli, il ciclo 5 (minimo di Dalton linea di colore fucsia) e il ciclo 24 (ciclo attuale linea di colore azzurro) per il metodo di conteggio del Layman's Sunspot Count

Aggiornamento del Campo Magnetico Polare del 28 Aprile 2016

Come nostra consuetudine diamo uno sguardo dell'ultimo aggiornamento del campo magnetico polare del sole. Dati raccolti dal prestigioso Osservatorio di Wilcox Solar Observatory (WSO) dell'Università di Stanford in California, Stati Uniti.

I dati aggiornati al 28 Aprile 2016 e che si riferiscono all'11 Aprile 2016, mettono ancora una volta in evidenza come l'Emisfero Nord abbia ormai intrapreso un andamento molto rallentato, se non bloccato. In questo aggiornamento il dato filtrato dell'Emisfero Nord avanza di un punto e si porta a 23Nf. Avanza di un punto anche l'Emisfero Sud portandosi così a -89Sf. Anche il valore mediato generale aumenta di un punto e si porta a 56Avgf.

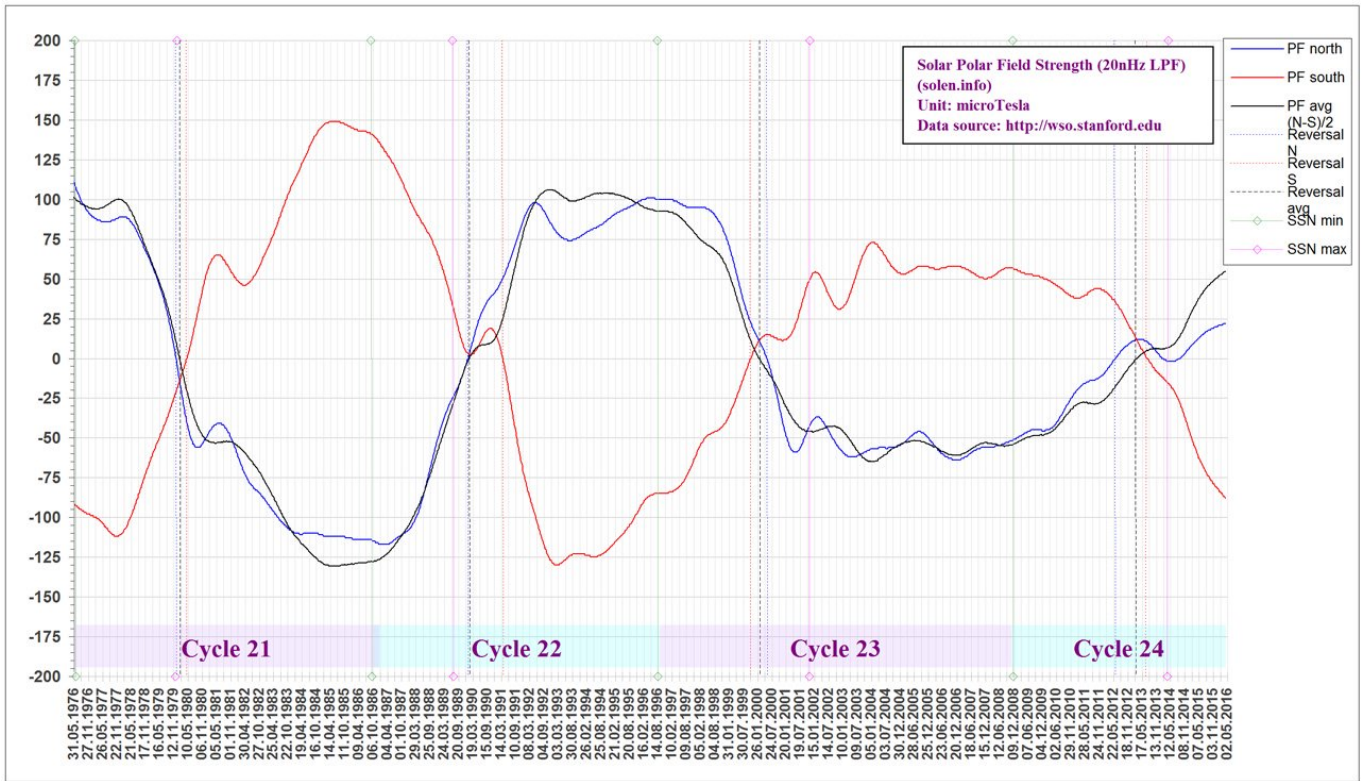
Questo ritardo dell'Emisfero Nord porterà certamente degli scompensi al normale andamento del ciclo 24 e molto probabilmente al successivo ciclo 25.

2015:07:16_21h:07m:13s	13N	-74S	43Avg	20nhz	filt:	16Nf	-70Sf	43Avgf
2015:07:26_21h:07m:13s	13N	-69S	41Avg	20nhz	filt:	17Nf	-71Sf	44Avgf
2015:08:05_21h:07m:13s	12N	-66S	39Avg	20nhz	filt:	17Nf	-72Sf	45Avgf
2015:08:15_21h:07m:13s	14N	-63S	38Avg	20nhz	filt:	17Nf	-73Sf	45Avgf
2015:08:25_21h:07m:13s	17N	-64S	40Avg	20nhz	filt:	18Nf	-74Sf	46Avgf
2015:09:04_21h:07m:13s	19N	-67S	43Avg	20nhz	filt:	18Nf	-75Sf	46Avgf
2015:09:14_21h:07m:13s	19N	-68S	44Avg	20nhz	filt:	18Nf	-75Sf	47Avgf
2015:09:24_21h:07m:13s	20N	-70S	45Avg	20nhz	filt:	19Nf	-76Sf	47Avgf
2015:10:04_21h:07m:13s	22N	-71S	47Avg	20nhz	filt:	19Nf	-77Sf	48Avgf
2015:10:14_21h:07m:13s	24N	-64S	44Avg	20nhz	filt:	19Nf	-78Sf	48Avgf
2015:10:24_21h:07m:13s	26N	-67S	46Avg	20nhz	filt:	19Nf	-78Sf	49Avgf
2015:11:03_21h:07m:13s	25N	-64S	44Avg	20nhz	filt:	20Nf	-79Sf	49Avgf
2015:11:13_21h:07m:13s	26N	-75S	51Avg	20nhz	filt:	20Nf	-80Sf	50Avgf
2015:11:23_21h:07m:13s	22N	-74S	48Avg	20nhz	filt:	20Nf	-80Sf	50Avgf
2015:12:03_21h:07m:13s	20N	-84S	52Avg	20nhz	filt:	20Nf	-81Sf	51Avgf
2015:12:13_21h:07m:13s	18N	-89S	53Avg	20nhz	filt:	21Nf	-82Sf	51Avgf
2015:12:23_21h:07m:13s	21N	-91S	56Avg	20nhz	filt:	21Nf	-82Sf	52Avgf
2016:01:02_21h:07m:13s	19N	-82S	50Avg	20nhz	filt:	21Nf	-83Sf	52Avgf
2016:01:12_21h:07m:13s	23N	-86S	55Avg	20nhz	filt:	21Nf	-84Sf	52Avgf
2016:01:22_21h:07m:13s	21N	-84S	52Avg	20nhz	filt:	21Nf	-84Sf	53Avgf
2016:02:01_21h:07m:13s	20N	-92S	56Avg	20nhz	filt:	22Nf	-85Sf	53Avgf
2016:02:11_21h:07m:13s	15N	-89S	52Avg	20nhz	filt:	22Nf	-85Sf	54Avgf
2016:02:21_21h:07m:13s	18N	-91S	55Avg	20nhz	filt:	22Nf	-86Sf	54Avgf
2016:03:02_21h:07m:13s	16N	-93S	54Avg	20nhz	filt:	22Nf	-87Sf	54Avgf
2016:03:12_21h:07m:13s	21N	-93S	57Avg	20nhz	filt:	22Nf	-87Sf	55Avgf
2016:03:22_21h:07m:13s	26N	-94S	60Avg	20nhz	filt:	22Nf	-88Sf	55Avgf
2016:04:01_21h:07m:13s	28N	-93S	61Avg	20nhz	filt:	23Nf	-88Sf	56Avgf
2016:04:11_21h:07m:13s	29N	-97S	63Avg	20nhz	filt:	23Nf	-89Sf	56Avgf

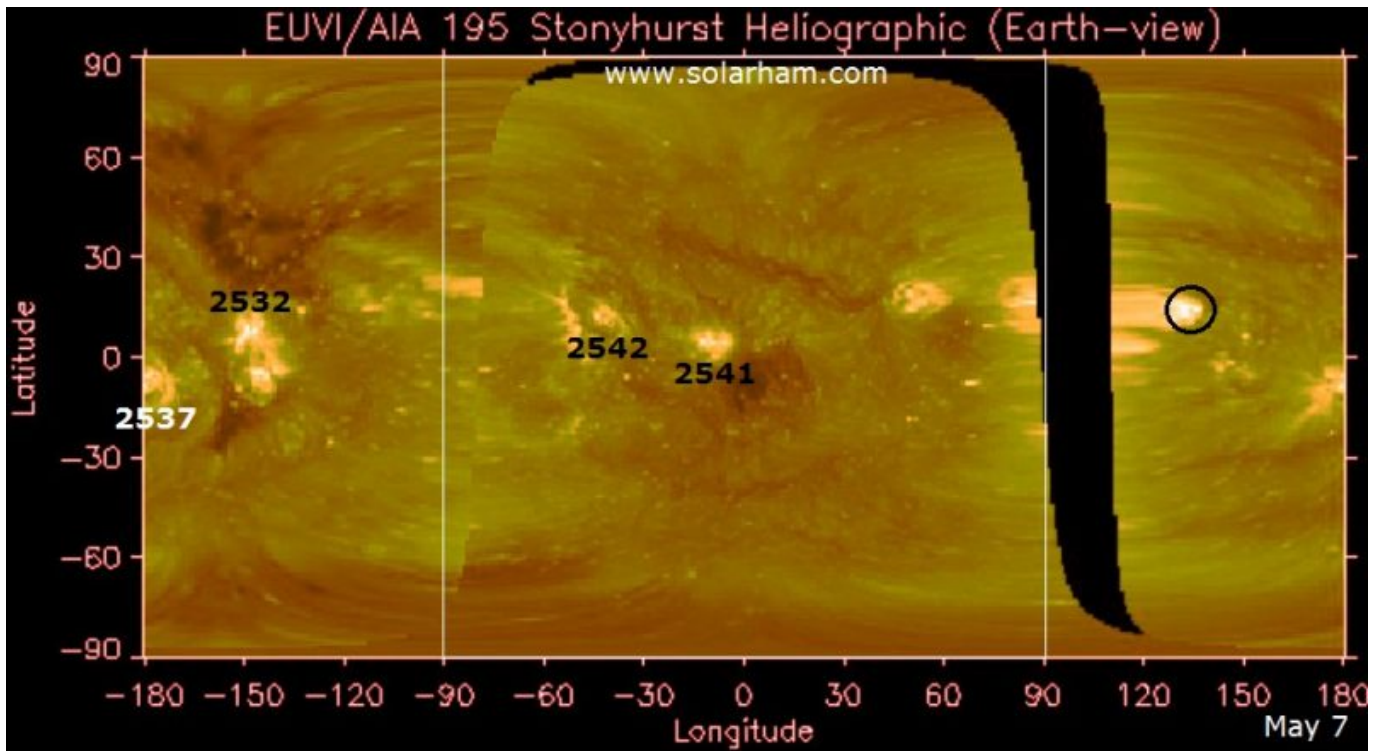
I dati grezzi e filtrati del campo polare del sole

<http://wso.stanford.edu/Polar.html#latest>

L'andamento degli ultimi 4 cicli solari del Campo Polare magnetico del sole



<http://www.solen.info/solar/polarfields/polar.html>



La mappa relativa allo Stonyhurst Heliographic in data 7 Maggio (ultima mappa disponibile) che mostra le macchie in arrivo dal Behind (lato nascosto del sole).

Enzo

Attività Solare